

# آشکارسازی و همسانسازی کور در سامانه مخابراتی آشوبی با استفاده از نمونهبرداری اهمیتی

ابراهیم شاهین ورنوفادارانی، محمدفرزان صباحی و محمد عطایی

گروه مهندسی برق، دانشگاه اصفهان، اصفهان، ایران

## چکیده

در این مقاله یک روش نمونهبرداری اهمیتی برای تحقق آشکارساز و همسانساز کور در مخابرات آشوبی پیشنهاد شده است. سیگنال‌های آشوبی با سامانه‌های پویای غیرخطی تولید می‌شوند. این سیگنال‌ها بهدلیل داشتن خواص منحصر بهفردی مانند شبیه تصادفی بودن، پهنای باند عریض داشتن، غیرقابل پیش‌بینی بودن برای مدت طولانی و نیز برآورده کردن نیازهای مخصوص برخی از سامانه‌های مخابراتی، مورد توجه هستند. براساس خواص مختلف آشوب، روش‌های مخابراتی شامل مدولاسیون آشوبی، پوشش گذاری و طیف گستردگی پیشنهاد شده است. در سامانه مخابراتی مورد بررسی در این مقاله (Symbol) پیام با روش پوشش آشوبی (Chaos Masking) می‌شود، در این حالت مسأله تخمين کانال یک مسأله غیر خطی است که روش‌های متنوعی مانند فیلتر کالمن گسترش‌یافته، فیلتر ذرهای، کمترین خطای پیش‌بینی غیرخطی و ... برای حل آن استفاده شده است. در گیرنده، برای تخمين نمادهای پیام از نمونه‌برداری اهمیتی استفاده می‌شود. در مقایسه با فیلتر کالمن گسترش‌یافته روش به کار رفته در این مقاله بهخصوص در SNRهای پایین نتایج بهتری دارد.

واژگان کلیدی: مخابرات آشوبی، آشکارسازی، نمونه‌برداری اهمیتی، همسانسازی کور، پوشش آشوبی.

## ۱ - مقدمه

کاربردهای مختلف آشوب در مهندسی از قبیل مخابرات، کنترل و پردازش سیگنال، از دیرباز مورد مطالعه بژوهش گران بوده است (لیونگ و لو، ۱۹۹۳؛ پتروف و شوالتر، ۱۹۹۶؛ المیرقانی و دیگران، ۱۹۹۷). این توجه در سال‌های اخیر نیز ادامه داشته و تئوری آشوب و کاربردهای آن در مخابرات مدرن مورد توجه قرار گرفته است. کاربردهایی از قبیل مخابرات چندحاملی (کدوم و دیگران، ۲۰۱۳)، طیف گستردگی (ژو و وانگ، ۲۰۱۴)، مخابرات با نرخ بالا (کدوم و گنون، ۲۰۱۲) و ... .

بژوهش گران در زمینه پردازش سیگنال و مخابرات برای توسعه روش‌های غیرخطی توجه زیادی به آشوب دارد. یک سیگنال آشوبی در یک سامانه با پویایی قطعی تولید می‌شود؛ ولی دارای رفتار به ظاهر تصادفی است. سیگنال‌های

آشوبی حساسیت زیادی به شرایط اولیه دارند به طوری که بهازای شرایط اولیه بسیار نزدیک به هم، مسیرهای سیگنال آشوبی نسبت به هم واگراشده و سرانجام نامربوط می‌شوند. سیگنال‌های آشوبی دارای سه خاصیت مهم مورد نیاز در سامانه‌های مخابراتی می‌باشند. طیف باند عریض، متعامد بودن هر کدام با سیگنال‌های آشوبی دیگر و غیرممکن بودن بازتولید یک سیگنال آشوبی بدون داشتن مقدار اولیه، خواصی هستند که به ترتیب در مخابرات طیف گستردگی، سامانه‌های مخابراتی چندکاربره و رمزنگاری مورد نیاز هستند (آل و شوارتز، ۲۰۰۲؛ استارولاکیس، ۲۰۰۶). براساس خواص مختلف آشوب، روش‌های مخابراتی شامل مدولاسیون آشوبی، پوشش آشوبی و طیف گستردگی پیشنهاد شده است. استفاده از سیگنال‌های آشوبی در بخش‌های مختلف سامانه مخابراتی مانند رمزنگاری، کدگذاری و روش‌های مخابراتی در سال‌های اخیر پیشنهاد شده است. برهمین اساس سامانه‌های

پیش‌بینی پذیری کوتاه‌مدت سیگنال آشوبی پیشنهاد شده است که کمینه خطای پیش‌بینی غیر خطی<sup>۲</sup> (MNPE) نامیده می‌شود. این روش نتایج خوبی برای کانال‌هایی که با مدل AR مدل شده‌اند، ارائه می‌دهد. در (ژو و لیونگ، ۲۰۰۵) یک روش همسان‌سازی کور بر مبنای شبکه عصبی توابع پایه شعاعی<sup>۳</sup> پیشنهاد شده است. با فرض تبعیت ضرایب کانال از مدل مشخصی (مثل AR) می‌توان همسان‌سازی کور کانال را به عنوان یک مسئله تخمین توأم عامل<sup>۴</sup> و حالت فرمول‌بندی کرد. فیلترهای غیرخطی مانند فیلتر کالمان گسترش یافته<sup>۵</sup> (EKF) می‌تواند برای تخمین توأم عامل و حالت سامانه بیان شود. از EKF برای تخمین حالت سامانه آشوبی نخستین بار در (فائلور، ۱۹۸۹) استفاده شده است. در (کومو و اپنهایم، ۱۹۹۳) استفاده از EKF برای همزمان‌سازی سامانه مخابراتی آشوبی پیشنهاد شده و در (کروز و نیجمیجر، ۲۰۰۰) پایداری EKF در همزمان‌سازی آشوبی بررسی شده است. در (ژو و لیونگ، ۲۰۰۱) فیلتر کالمان گسترش یافته برای همسان‌سازی وفقی کور ارائه شده است. اگرچه در (لیونگ و دیگران، ۲۰۰۰) مشاهده شده است که پایداری روش اخیر همیشه تضمین نمی‌شود؛ در (لیونگ و لم، ۱۹۹۷؛ سوبیسکی و ترب، ۱۹۹۸) از EKF در EKF دی‌مولا‌سیون آشوبی و در (ژو و لیونگ، ۲۰۰۲) از EKF برای دی‌مولا‌سیون و همسان‌سازی به صورت یک‌جا استفاده شده است. روش‌های جدیدی نیز بر مبنای فیلتر گوسی، که در آن با استفاده از فیلترینگ غیر خطی و بدون هیچ هزینه اضافی، EKF ارتقاء و مهبدی‌یافته است (باپروفسکی، ۲۰۰۲) معروفی شده است. سرانجام در (مائوگ و دیگران، a ۲۰۰۶؛ b ۲۰۰۶؛ یک روش همسان‌سازی کور و در (مائوگ و دیگران، ۲۰۰۶؛ شوان و جیوچائی، ۲۰۰۷) روش‌هایی برای دی‌مولا‌سیون آشوبی بر مبنای فیلترینگ ذره‌ای<sup>۶</sup> پیشنهاد شده است. در این مقاله از دیدگاهی دیگر به استفاده از نمونه‌برداری تصادفی برای تخمین همزمان نماد دریافتی و شناسایی کانال پرداخته شده است. با فرض دی‌مولا‌سیون ماسک‌گذاری آشوبی (Chaos Masking) با نمادهای دودویی، در گیرنده فرض می‌شود که داده‌های دریافتی متعلق به یکی از دو مدل ممکن (به ازای هر یک از دو نماد) است. با استفاده از نمونه‌برداری اهمیتی، روشی برای محاسبه

مخابراتی مختلف برپایه آشوب و بیوایی غیرخطی به وجود آمده است. یکی از اجزای سامانه‌های مخابراتی، کانال ارسال است. سیگنال ارسالی در این کانال تحت تأثیر عوامل مخربی مانند نوفه، تضعیف، اعوجاج، محوشدگی و تداخل قرار می‌گیرد. کانال مخابراتی می‌تواند تغییرپذیر با زمان باشد. این پدیده می‌تواند به علت حرکت گیرنده یا فرستنده و در نتیجه پراکنده گشته‌ها و یا معکس گشته‌ها، در مسیر ارسال باشد.

در بیشتر پژوهش‌ها در مخابرات آشوبی در مرحله آخر فرض می‌شود که فرستنده به گیرنده با کانال ایده‌آل متصل شده است؛ ولی در یک سامانه مخابراتی واقعی به طور معمول خروجی کانال با انواع اعوجاج مانند نوفه، محوشدگی و تداخل چندمسیره خراب می‌شود. بازده سامانه مخابراتی با اثرات کانال و نوفه، کاهش می‌یابد. در چنین موقعی مهمسان‌سازی کانال برای جبران اعوجاجات کانال نیاز است. مقابله با اثرات مخرب کانال و بهبود کیفیت دی‌مولا‌سیون در سامانه‌های مخابراتی هدف اصلی همسان‌سازی کانال است. در بسیاری از موارد عملی مشخصات کانال ناشناخته هستند. در چنین شرایطی همسان‌سازی کانال فقط با استفاده از سیگنال دریافتی خراب شده انجام می‌شود که این نوع همسان‌سازی، همسان‌سازی کور کانال نامیده می‌شود. سیگنال آشوبی، سیگنالی قطعی است؛ بنابراین روش‌های تخمین آماری معمول در همسان‌سازی مخابرات کلاسیک نمی‌تواند بازدهی رضایت‌بخشی در مخابرات آشوبی فراهم آورد و باید روش‌هایی با استفاده از خواص ذاتی ویژه سیگنال‌های آشوبی، برای حصول بازدهی قابل قبول ایجاد شود. در سال‌های اخیر چندین روش برای همسان‌سازی کور آشوبی بر مبنای خواص مختلف سیگنال آشوبی ایجاد شده است. برای مثال در روش مبتنی بر همزمان‌سازی (شارما و آت، ۱۹۹۸؛ کومو و اپنهایم، ۱۹۹۶) از همزمان‌سازی آشوبی بین فرستنده و گیرنده برای تخمین و ردیابی اعوجاجات کانال مانند محوشدگی متغیر با زمان و چندمسیره استفاده شده است. در (لیونگ، ۱۹۹۸) از یک کمیت پیچیده به نام حجم فضای فاز<sup>۷</sup> که با استفاده از خاصیت بعد محدود سیگنال آشوبی، به دست آمده استفاده شده است. مسئله تخمین کانال به صورت یک مسئله بهینه‌سازی در آمده که در آن حجم فضای فاز، تابع هزینه کمینه‌شونده است. این روش، کمینه حجم فضای فاز (MPSV) نامیده می‌شود. در (لیونگ، ۲۰۱۳) یک روش شناسایی با استفاده از خاصیت

<sup>2</sup>Minimum Nonlinear Prediction Error

<sup>3</sup>Radial Basis Function

<sup>4</sup>Parameter

<sup>5</sup>Extended Kalman Filter

<sup>6</sup>Particle Filter

<sup>1</sup>Phase Space Volume



دارای متوسط صفر و  $\alpha_n$  بردار ضرایب کanal است که می‌تواند ثابت یا متغیر با زمان باشد. یک روش استاندارد برای بیان یک سامانه پویا، فضای حالت است. برای امکان پذیر بودن ایجاد یک فضای حالت، فرض می‌شود سیگنال پیام را با مدل AR به صورت زیر می‌توان مدل کرد. (لیونگ و زو، ۲۰۰۰):

$$s_n = \sum_{i=1}^{p_s} a_i^s s_{n-i} + w_n \quad (5)$$

که در آن  $w_n$  فرآیندگوسی سفید و  $s_n$  ضرایب و درجه مدل AR است. برای مدل درجه نخست داریم:

$$s_n = s_{n-1} + w_n \quad (6)$$

همچنین در حالت کلی، یک مدل مشخص برای بردار ضرایب کanal در نظر گرفته می‌شود. با فرض تغییر آهسته این ضرایب با زمان می‌توان این ضرایب را با مدل AR به صورت زیر مدل کرد:

$$a_n^j = \sum_{i=1}^{p_a} a_i^a \alpha_{n-i}^j + \zeta_n^j \quad (7)$$

که در آن  $\zeta_n^j$  فرآیندگوسی سفید و  $a_i^a$  ها ضرایب و درجه مدل AR است. برای مدل درجه اول داریم:

$$a_n^j = a_{n-1}^j + \zeta_n^j \quad (8)$$

با توجه به آن‌چه گفته شد بردار گسترش یافته حالت به صورت زیر ایجاد می‌شود:

$$X_n = [x_n, s_n, \alpha_n]^T \quad (9)$$

بنابراین برای سامانه مخابراتی فضای حالت به صورت زیر به دست می‌آید:

$$\begin{cases} X_n = F(X_{n-1}) + W_n \\ Y_n = H(X_n) + V_n \end{cases} \quad (10)$$

که در آن  $(X_n)$  با توجه به نوع مدولاسیون و اعوجاجات کanal به دست می‌آید و

$$F(X_{n-1}) = [f(x_{n-1}), s_{n-1}, \alpha_{n-1}]^T \quad (11)$$

$V_n = v_{n-1}$  بردار نووفه سامانه و  $W_n = [0, w_{n-1}, 1]^T$  بردار نووفه مشاهده، بردارهای نووفه گوسی با متوسط صفر به ترتیب دارای ماتریس کوواریانس  $R_n$  و  $Q_n$  می‌باشند.

### ۳-آشکارسازی و همسانسازی کور در سامانه مخابراتی آشوبی

همسانسازی و آشکارسازی می‌تواند در گیرنده به صورت لحظه‌ای با استفاده از تخمین  $X_n$  انجام شود. به دلیل غیر

مقدار درست‌نمایی<sup>۱</sup> شرطی ارائه شده است. درنتیجه با محاسبه و سپس مقایسه مقادیر درست‌نمایی‌های شرطی تحت هر یک از مدل‌ها می‌توان گیرنده بیشترین درست‌نمایی را پیاده‌سازی کرد. نتایج شبیه‌سازی نشان می‌دهد که روش پیشنهادی در مقایسه با سایر روش‌ها مانند EKF به خصوص در SNR پایین بازدهی بهتری دارد.

مقاله به شکل زیر سازمان‌دهی شده است. در بخش ۲ مختصری در مورد مخابرات آشوبی و مدل استفاده شده توضیح داده می‌شود. در بخش ۳ با هدف آشکارسازی و همسانسازی کور، به شرح نمونه برداری اهمیتی و نحوه استفاده از آن برای تخمین سمبل و کanal در مدل غیرخطی حاصل می‌پردازیم. در بخش ۴ نتایج شبیه‌سازی ارائه شده و جمع‌بندی مقاله در بخش ۵ بیان خواهد شد.

## ۲-مخابرات آشوبی و مدل‌سازی مسئله

فرستنده‌ای که یک نگاشت آشوبی یک بعدی در دینامیک حامل آن حاکم است به صورت زیر بیان می‌شود:

$$x_n = f(x_{n-1}, \lambda) \quad (1)$$

که در آن  $\lambda$  متغیر دوشاخگی<sup>۲</sup> نامیده می‌شود. این عامل نشان‌دهنده چگونگی تغییر از حالت منظم به حالت آشوبناک است. برای مدولاسیون آشوبی در حالت ماسک‌گذاری آشوبی جمعی<sup>۳</sup> (ACM) سیگنال آشوبی‌برابر است با (یانگ، ۲۰۰۴):

$$z_n = x_n + s_n \quad (2)$$

و در حالت پوشش آشوبی ضربی<sup>۴</sup> (MCM) به صورت زیر است (شیوان و جیوچائو، ۲۰۰۷):

$$z_n = x_n s_n \quad (3)$$

که در آن  $s_n$  نشان‌دهنده سیگنال پیام است. در مدولاسیون پوشش آشوبی در هر دسته T تابی از سیگنال آشوبی،  $s_n$  ثابت است. بدین ترتیب با توجه به خواص آشوبی  $x_n$  می‌توان گفت طیف سیگنال با ضرب T گستره شود. سیگنال دریافتی در گیرنده نیز به صورت زیر مدل می‌شود:

$$y_n = \alpha_n * z_n + v_n \quad (4)$$

که در آن  $*$  نمایان گر عملگر کانولوشن است.  $v_n$  نویفه

<sup>1</sup>Likelihood

<sup>2</sup>Bifurcation

<sup>3</sup>Additive Chaos Masking

<sup>4</sup>Multiplicative Chaos Masking

متأسفانه به دلیل وجود جمله  $(p(y_{1:T})$  در مخرج رابطه (۱۲) به دست آوردن تحلیلی توزیع پسین اغلب کار مشکلی است. با این حال اگر به طریقی بتوان نمونه‌های مستقل  $X$  را طبق توزیع، پسین تولید کرد، می‌توان از این نمونه‌ها برای تخمین‌های مورد نظر و تقریب روابط استفاده کرد. یک راه برای تقریب انتگرال (۱۳) استفاده از نمونه‌برداری اهمیتی<sup>۱</sup> (IS) است. پیشنهاد اصلی در این روش تولید نمونه‌های وزن دار است. وقتی که تولید نمونه طبق توزیع هدف، یعنی  $(p(y_{1:T}|X)$ ، به راحتی امکان‌پذیر نباشد، می‌توان از یک توزیع دلخواه دیگر مثل  $(q(.))$  نمونه تولید کرده و رابطه تقریب مونت کارلو را به صورت زیر بازنویسی کرد:

$$\begin{aligned} E[h(X)] &= \int h(X)p(X|y_{1:T})dX \\ &= \int h(X)\frac{p(X|y_{1:T})}{q(X)}q(X)dX \end{aligned} \quad (14)$$

به  $q(X)$  تابع توزیع اهمیت و به  $w(X) = \frac{p(X|y_{1:T})}{q(X)}$  وزن اهمیت گفته می‌شود. این روش

در (کلک و ون دیجک، ۱۹۷۸) برای محاسبه انتگرال‌ها به کار گرفته شده است. در حقیقت رابطه (۱۴) را می‌توان به این صورت تعبیر کرد که میانگین تابع  $h(X)w(X)$  روی توزیع  $q(X)$  محاسبه شده است؛ به عبارت دیگر:

$$\begin{aligned} E_p[h(X)] &= E_q[h(X)w(X)] \\ &\approx \frac{1}{N} \sum_{i=1}^N h(X^{(i)})w(X^{(i)}) \end{aligned} \quad (15)$$

در این رابطه  $X^{(i)}$ ‌ها نمونه‌های تولید شده طبق توزیع  $(.).q(.)$  هستند. می‌توان نشان داد که هر چه  $(.).q(.)$  بهتری از  $(.).p(.)$  باشد، این روش کارآیی بهتری خواهد داشت؛ به عبارت دقیق‌تر واریانس  $w(X)$  نمایان گر کارآیی روش است (جوک، ۱۹۸۹). در بسیاری اوقات وزن اهمیت را نمی‌توان به طور مستقیم به دست آورد؛ چون توزیع هدف یعنی  $(p(X|y_{1:T})$  در دسترس نیست. در چنین مواردی دانستن توزیع هدف تا حد یک ثابت کافی است. در این حالت داریم:

$$p(X|y_{1:T}) \propto p(y_{1:T}|X)p(X) \quad (16)$$

بنابراین می‌توانیم وزن اهمیت را تا حد یک ثابت محاسبه کنیم:

<sup>۱</sup>Importance Sampling

خطی بودن معادلات حالت و مشاهده، می‌بایست از روش‌های مناسب این گونه مسائل استفاده کرد. به طور معمول برای حل این مسائل از روش‌های تقریبی یا روش‌های عددی استفاده می‌شود. فیلتر کالمون گسترش‌بافت (EKF) به عنوان یکی از مشهورترین روش‌های تقریبی برای تخمین حالت در یک فضای خطی سازی مرتبه‌نخست توابع غیرخطی حول یک مبنای خطی سازی مرتبته نخست توابع غیرخطی حول یک نقطه استوار است؛ پس از خطی شدن معادلات مشاهده و حالت، از فیلتر کالمون که در حالت گوسی خطی بهینه است، استفاده می‌شود. از EKF برای مخابرات آشوبی در (ژو و لیونگ، ۲۰۰۱) استفاده شده است. روش دیگر برای تخمین حالت در سامانه‌های غیر خطی یا غیر گوسی، فیلتر ذره‌ای است که در (مائوگ و دیگران، ۲۰۰۶؛ مائوگ و دیگران، ۲۰۰۷؛ شیوان و جیوچائو، ۲۰۰۷) به کار گرفته شده است. این روش‌ها زیرمجموعهٔ روش‌های کلی مبتنی بر شبیه‌سازی است که در ادامه بیان می‌شود.

### ۱-۳ - روش‌های تخمین مبتنی بر شبیه‌سازی

تخمین آماری عامل (یا تابعی از عامل) از دو دیدگاه قابل بررسی است. یکی دیدگاه کلاسیک که در آن پارامترها قطعی و نامعلوم فرض می‌شوند و دیگری دیدگاه بیزی که در آن پارامتر مجهول، یک متغیر تصادفی در نظر گرفته می‌شود که تحقیقی از آن مورد نظر است. در حالت اخیر در مورد پارامترها اطلاعات پیشینی به فرم یک تابع توزیع پیشیندر نظر گرفته می‌شود. این تابع توزیع ممکن است حاوی اطلاعات کمی بوده یا در اصل خالی از اطلاعات باشد (مثل توزیع یکنواخت در کل ناحیه ممکن). با داشتن اطلاعات پیشین و همچنین مقدار درست‌نمایی داده‌های مشاهده شده، می‌توان توزیع پسین پارامترها را به شکل زیر به دست آورد:

$$p(X|y_{1:T}) = \frac{p(y_{1:T}|X)p(X)}{p(y_{1:T})} \quad (12)$$

که در آن  $(y_1, y_2, \dots, y_T) = (y_1, y_2, \dots, y_T)$  بردار مشاهدات و بردار  $X = [x_n, s_n, \alpha_n]^T$  پارامترها و  $p(y_{1:T}|X)$  درست‌نماییداده‌ها است. تئوری بیز بیان می‌کند که به شرط مشاهده  $y_{1:T}$  تمامی اطلاعات ممکن در مورد  $X$  در  $p(X|y_{1:T})$  موجود است. از این توزیع پسین می‌توان در سایر تحلیل‌ها استفاده کرد. به عنوان مثال برای تخمین پسین هر تابعی از  $X$  می‌توان نوشت:

$$E[h(X)] = \int h(X)p(X|y_{1:T})dX \quad (13)$$



$N \rightarrow \infty$ ، تخمین پیشنهادی به سمت مقدار واقعی درستنمایی کناریمیل می کند (جوک، ۱۹۸۹).

### آشکارساز بیشترین درستنمایی

تحت هر یک از فرضیه های  $S_0$  و  $S_1$ :

۱- با فرض  $X = (x_{iT+1:(i+1)T}, \alpha_{iT+1:(i+1)T})$  نمونه های  $\{X^{(i)}\}_{i=1\dots N}$  را مطابق اطلاعات پیشینی که از موجود است تولید می کنیم.

۲- بافرض اینکه نمونه های  $\{X^{(i)}\}_{i=1\dots N}$  از توزیع  $q(\cdot)$  تولید شده اند، وزن های به هنگارشده  $w^{(i)}$  ( $i=1, 2, \dots, N$ ) را از رابطه (۱۷) محاسبه کرده و مقدار درستنمایی کناری تحت فرضیه کنونی را مطابق با رابطه  $\frac{1}{N} \sum_{i=1}^N w^{(i)}$  به دست می آوریم.

۳- با در دست داشتن مقدار درستنمایی کناری تحت هر یک از فرضیه ها اقدام به انتخاب فرضی که بیشترین درستنمایی را دارد می نماییم.

لازم به ذکر است که در روش ارائه شده، رابطه ای که برای تخمین  $X$  و محاسبه مقدار درستنمایی به دست می آید رابطه ای دقیق بوده ولی به فرم بسته قابل محاسبه نیست و لذا از تقریب عددی آن استفاده می شود؛ در حالی که در روش های دیگر نظری EKF به دلیل تقریب معادلات حالت، از ابتدا برای تخمین بردار پارامترها با خطای تقریب، که می تواند قابل توجه هم باشد، روبرو هستیم. خطای تقریب معادلات به خصوص در حالتی که مشاهدات به شدت آغشته به نویه هستند، قابل توجه بوده و همان گونه که در بخش نتایج شبیه سازی مشاهده می شود به کیفیت خوبی منجر نخواهد شد.

### ۴- نتایج شبیه سازی

در این قسمت به شرح نتایج حاصل از روش نمونه برداری اهمیتی در مخابرات آشوبی می پردازیم. هدف، بیان چگونگی اعمال الگوریتم در تخمین سمبول های پیام و شناسایی کانال است. در شبیه سازی ها از نگاشت آشوبی logistic برای تولید سیگنال آشوبی استفاده شده است.

$$x_n = \lambda x_{n-1} (1 - x_{n-1}) \quad (21)$$

$$w(X) = \frac{p(y_{1:T} | X)p(X)}{q(X)} \propto \frac{p(X | y_{1:T})}{q(X)} \quad (17)$$

و رابطه (۱۵) به فرم زیر اصلاح می شود:

$$E_p[h(X)] \approx \frac{\frac{1}{N} \sum_{i=1}^N h(X^{(i)}) w(X^{(i)})}{\frac{1}{N} \sum_{i=1}^N w(X^{(i)})} \quad (18)$$

$w(X^{(i)})$  وزن های به هنگارشده<sup>۱</sup> هستند. وزن های

به هنگارشده نیز به شکل زیر تعریف می شوند:

$$\tilde{w}(X^{(i)}) = \frac{w(X^{(i)})}{\frac{1}{N} \sum_{i=1}^N w(X^{(i)})} \quad (19)$$

### ۲-۳- گیرنده بیشترین درستنمایی بر

#### مبنا نمونه برداری اهمیتی

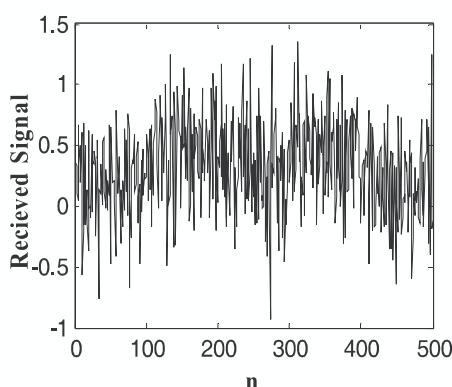
در مدل مخابراتی مورد نظر برای پیاده سازی گیرنده بیشترین درستنمایی نیاز به محاسبه داریم.

$$p(y_{iT+1:(i+1)T} | S_i) = \int p(y_{iT+1:(i+1)T} | x_{iT+1:(i+1)T}, \alpha_{iT+1:(i+1)T}, S_i) \\ p(x_{iT+1:(i+1)T}, \alpha_{iT+1:(i+1)T} | S_i) dx_{iT+1:(i+1)T} d\alpha_{iT+1:(i+1)T} \quad (20)$$

با فرض مدولاسیون دودویی، در هر دسته از داده های دریافتی،  $S_i$  که نماد ارسالی در دوره  $i-1$  است، یکی از دو مقدار  $S_0$  و  $S_1$  را دارد. به مقدار بالا درستنمایی کناری داده های دریافتی تحت هر فرض  $S_i$  گفته می شود. محاسبه تحلیلی درستنمایی کناری فقط در موارد خاصی امکان پذیر است. برای بقیه حالت ها باید به دنبال روش های مناسب عددی بود. یکی از روش های مناسب استفاده از نمونه برداری اهمیتی است. در حالت کلی با دریافت داده های  $y_{1:T}$  می توان نشان داد اگر توسط توزیع  $(X | y_{1:T})$  تعداد  $N$  نمونه وزن دار از توزیع  $p(X | y_{1:T})$  تولید کنیم، جمع وزن های به هنگارشده در  $N \rightarrow \infty$  به سمت  $(y_{1:T})$  میل می کند (کلک و نون دیجک، ۱۹۷۸؛ نیل، ۲۰۰۱). بر این مبنای الگوریتم زیر را پیشنهاد می کنیم.

با فرض اینکه محدوده غیر صفر  $(0, M)$  محدوده غیر صفر  $(0, M)$  را در بر بگیرد می توان نشان داد که با

<sup>۱</sup> Unnormalized



(شکل-۱): سیگنال دریافتی در گیرنده برای مدولاسیون Masking Chaos

در شبیه‌سازی‌ها مقدار نرخ خطای بیت و میانگین مربعات خطأ در تخمین  $x_n$  مورد مقایسه قرار گرفته‌اند. میانگین مربعات خطأ در تخمین  $x_n$  به صورت زیر تعریف می‌شود:

$$MSE_x = \frac{1}{K} \sum_{n=1}^K (x_n - \hat{x}_n)^2 \quad (۲۱)$$

میانگین مربعات خطأ در تخمین  $\alpha_n$  نیز به طرق مشابهی تعریف می‌شود حال به شرح نتایج به دست آمده در هر حالت می‌پردازیم.

#### ۱-۴- مدولاسیون پوشش آشوبی جمعی و کanal گوسی با بهره نامعلوم

منحنی نرخ خطای بیت و خطای تخمین و بهازی SNR های ۰dB به ترتیب در شکل (۲) و شکل (۳) رسم شده است. همان گونه که ذکر شد، در این SNR ها EKF هم گرا نمی‌شود؛ به همین دلیل برای شبیه‌سازی EKF، بافرض معلوم بودن کanal در گیرنده انجام شده است. همان‌طور که مشاهده می‌شود، روش نمونه‌برداری اهمیتی با ضرب نامعلوم کanal در گیرنده، حدود ۵dB از روش EKF با بهره کanal معلوم برتر است.

<sup>۲</sup>Mean Square Error

که در آن بهازی  $\lambda \in [3.8, 4]$  در ناحیه آشوبی قرار دارد (ژو و لیونگ، ۲۰۰۱). در شبیه‌سازی‌های ما  $\lambda = 3.9$  انتخاب شده است. نمادهای ارسالی دودویی و به صورت ACM و  $S_0 = 0.3$  فرض شده و مدولاسیون MCM به ترتیب طبق رابطه (۲) و (۳) انجام شده است. بردار ضرب کanal یا  $\alpha_n$  در گیرنده مقدار ثابت و برای کanal تک‌مسیره برابر  $[\alpha_n] = [0.5]$  و برای کanal چندمسیره  $\alpha_n = [1, 0.25, -0.12]$  است. ضرب گسترش<sup>۱</sup> یا  $T$  نیز برابر ۵۰ فرض شده است. به دلیل قطعی بودن نگاشت آشوبی و ثابت بودن بردار ضرایب، یا به عبارت دیگر همان کanal، عوامل مجهول که نیاز به تخمین آنها داریم  $x_{iT}$  و  $\alpha_{iT}$  است. شکل (۱) قسمتی از سیگنال دریافتی را نشان می‌دهد. همان‌گونه که پیداست داده‌ها در سیگنال قابل تشخیص نیست.

نتایج حاصل از شبیه‌سازی برای بردار ضرایب کanal در دو حالت مختلف و برای دو مدولاسیون آشوبی معرفی شده، ارائه شده است. در شبیه‌سازی‌ها مدولاسیون دودویی و ضرایب حقیقی در نظر گرفته‌ایم. حالت‌های مختلف شامل موارد زیر است:

$$\text{, ACM } \alpha_n = [0.5] \quad -۱$$

$$\text{, ACM } \alpha_n = [1, 0.25, -0.12] \quad -۲$$

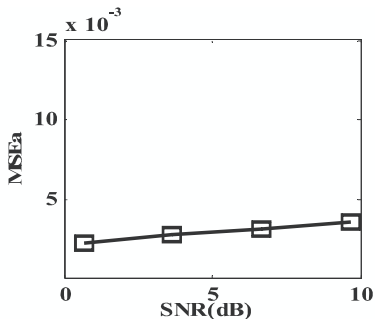
$$\text{, MCM } \alpha_n = [0.5] \quad -۳$$

$$\text{, MCM. } \alpha_n = [1, 0.25, -0.12] \quad -۴$$

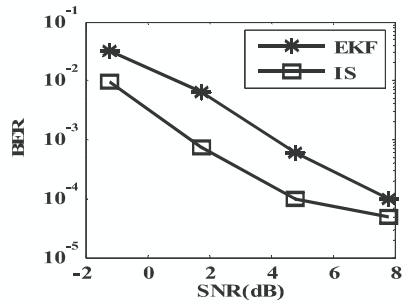
نتایج به دست آمده با روش EKF مقایسه شده است. در روش EKF برای مدل‌سازی سیگنال پیام و ضرایب کanal از مدل AR مرتبه‌نخست جهت تشکیل بردار حالت استفاده شده است. در شبیه‌سازی‌ها مشاهده شد که در محدوده SNR های کوچک EKF هم گرا نمی‌شود. به همین دلیل برای شبیه‌سازی EKF، فرض معلوم بودن ضرایب کanal در گیرنده انجام شده است. لازم به ذکر است که همسان‌سازی به روش EKF مطابق (ژو و لیونگ، ۲۰۰۱) با تفاوت در نوع مدولاسیون پیاده‌سازی شده است. روش پیشنهادی در مقایسه با روش در (مائوگ و دیگران، ۲۰۰۶؛ a: ۲۰۰۶؛ b: شیوان و جیوچانو، ۲۰۰۷) نیز از این جهت که ضرایب نامعلوم برای کanal در نظر گرفته‌ایم، برتری دارد.

<sup>۱</sup>Spreading Factor

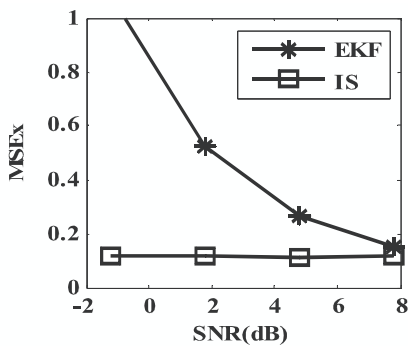
می شود BER روش نمونه برداری اهمیتی با ضرایب نامعلوم کanal در گیرنده حدود 3dB از روش EKF با ضرایب معلوم برتر است.



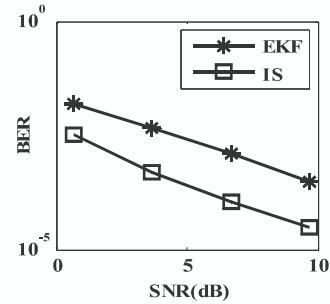
(شکل -۴): مقدار MSEa در مدولاسیون پوشش جمعی و کanal گوسی با بهره نامعلوم به ازای SNRهای بمنسبه پایین.



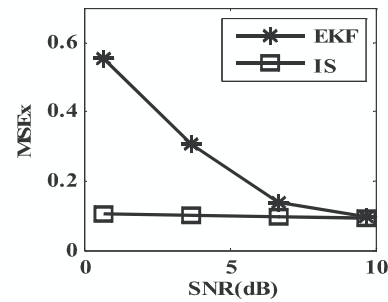
(شکل -۵): مقایسه BER در پوشش آشوبی جمعی و کanal چندمسیره با نویه گوسی به ازای SNRهای بمنسبه پایین.



(شکل -۶): مقایسه مقدار MSEx در پوشش آشوبی جمعی و کanal چندمسیره با نویه گوسی به ازای SNRهای بمنسبه پایین.



(شکل -۲): مقایسه BER در مدولاسیون پوشش جمعی و کanal گوسی با بهره نامعلوم به ازای SNRهای بمنسبه پایین.



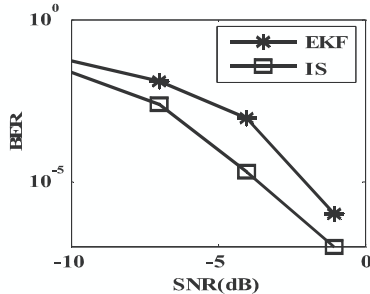
(شکل -۳): مقایسه مقدار MSEx در مدولاسیون پوشش جمعی و کanal گوسی با بهره نامعلوم به ازای SNRهای بمنسبه پایین.

در شکل (۳) نیز دیده می شود که رفتار MSEx در روش نمونه برداری اهمیتی با ضریب نامعلوم کanal در گیرنده، در مقایسه با روش EKF با ضریب معلوم به خصوص در SNR پایین برتری مشخصی دارد. شکل (۴) میانگین مربعات خطای تخمین بهره کanal،  $\alpha_n$ ، در روش پیشنهادی را ارائه می دهد. چون در EKF ضریب کanal معلوم فرض شده است، در این شکل مقایسه ای صورت نگرفته است.

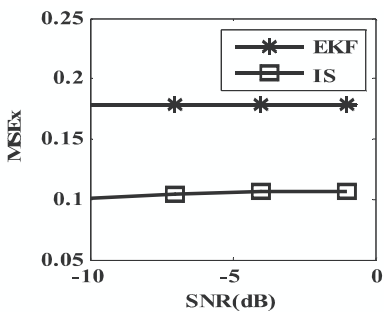
#### ۴-۲-۴- مدولاسیون پوشش آشوبی جمعی و کanal چندمسیره با نویه گوسی

نرخ خطای بیت به ازای SNRهای بمنسبه پایین برای حالت مدولاسیون پوشش آشوبی نوع جمعی و کanal چندمسیره در شکل (۵) رسم شده است. در این SNRها نیز EKF هم گرا نمی شود؛ بنابراین شبیه سازی روش EKF، بافرض معلوم بودن کanal در گیرنده انجام شده است. همان طور که مشاهده

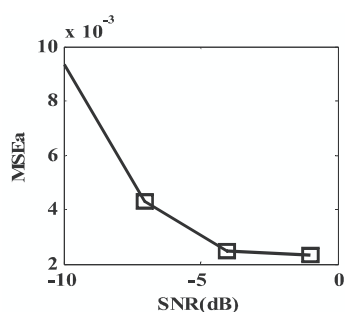
در SNR کوچک، در مقایسه با روش EKF برتری دارد؛ ولی در مقایسه با روش جمعی، برتری آن چنان محسوس نیست. شکل (۱۰) نیز میانگین مربعات خطای تخمین  $\alpha$  را در روش پیشنهادی را ارائه می‌دهد.



(شکل-۸): مقایسه BER در مدولاسیون پوشش ضربی و کanal گوسی با بهره نامعلوم به‌ازای SNRهای پایین.

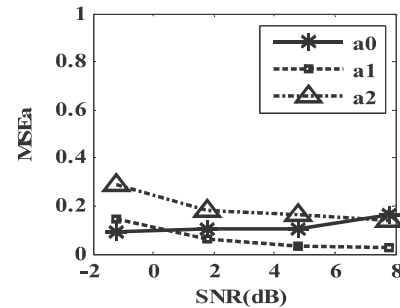


(شکل-۹): مقایسه مقدار MSE<sub>a</sub> در مدولاسیون پوشش ضربی و کanal گوسی با بهره نامعلوم به‌ازای SNRهای پایین.



(شکل-۱۰): مقدار MSE<sub>a</sub> در مدولاسیون پوشش ضربی و کanal گوسی با بهره نامعلوم به‌ازای SNRهای پایین.

شکل (۶) میانگین مربعات خطای تخمین  $\alpha$  در این حالت را نشان می‌دهد. همان‌گونه که مشاهده می‌شود، مقدار MSE<sub>x</sub> در روش نمونه‌برداری اهمیتی با ضرایب نامعلوم کanal در گیرنده، در مقایسه با EKF با ضرایب معلومبه خصوص در SNR کوچک برتری مشخصیدارد. شکل (۷) نیز میانگین مربعات خطای تخمین  $\alpha$  در روش پیشنهادی را ارائه می‌دهد. چون در روش EKF ضریب کanal معلوم فرض شده است در این شکل مقایسه‌ای صورت نگرفته است.



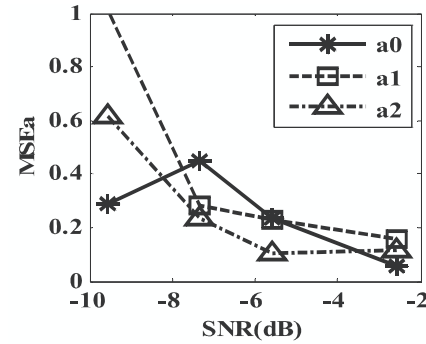
(شکل-۷): مقدار MSE<sub>a</sub> در مدولاسیون پوشش جمعی و کanal چندمیسره با نویه گوسی به‌ازای SNRهای بهنسبه پایین.

### ۳-۴-۴ مدولاسیون پوشش آشوبی ضربی و کanal کanal گوسی با بهره نامعلوم

BER به‌ازای SNRهای کوچک برای حالت مدولاسیون نوع ضربی در کanal گوسی با بهره نامعلوم در شکل (۸) رسماً شده است. لازم به ذکر است که طبق رابطه (۳) برای محاسبه SNR در ورودی گیرنده اثر سیگنال آشوبی ضرب شونده، که عددی کوچک‌تر از یک است، نیز باید لاحظ شود و بهنوعی به‌ازای مقادیر یکسان نمادهای داده، مقدار در روش ACM MCM از روش EKF به دلیل این که در این SNRها هم گرا نمی‌شود، در شبیه‌سازی روش EKF، کanal در گیرنده معلوم فرض شده است. همان‌طور که مشاهده می‌شود BER روش نمونه‌برداری اهمیتی با ضریب نامعلوم کanal در گیرنده نسبت به روش EKF با فرض بهره معلوم کanal برتری محسوس دارد.

در شکل (۹) مقدار MSE<sub>x</sub> در روش نمونه‌برداری اهمیتی با ضرایب نامعلوم کanal در گیرنده، در مقایسه با روش EKF با ضریب معلوم‌شان داده شده است. مشاهده می‌شود که میانگین مربعات خطای تخمین  $\alpha$  به خصوص





(شکل-۱۳): مقدار MSEa در مدولاسیون پوشش ضربی و کanal چندمسیره با نوفه گوسی به‌ازای SNRهای پایین.

#### ۴-۴- مدولاسیون پوشش آشوبی ضربی و

##### کanal چندمسیره با نوفه گوسی

نتایج حاصل از روش پیشنهادی در این حالت نیز هم‌چنان کارایی این روش را نشان می‌دهد. قابل ذکر است که این منحنی‌ها فقط برای مقایسه ارائه شده است، و گرنه روش پیشنهادی از آن جهت مورد توجه قرار می‌گیرد که حتی در SNR خیلی پایین هم می‌تواند کanal را تخمین بزند؛ در حالی که روش EKF در این SNRها به‌هیچ‌وجه هم‌گرا نمی‌شود و قادر به همسانسازی کanal و آشکارسازی پیام نیست. شکل‌های ۱۱ و ۱۲ و ۱۳ به‌ترتیب مقایسه BER و MSEx و میانگین مربعات خطای تخمین  $\alpha_n$  را در این حالت نشان می‌دهد.

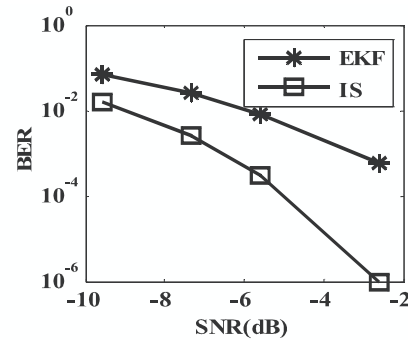
#### ۵- نتیجه‌گیری

در این مقاله دی‌مودولاسیون و شناسایی کور کanal با استفاده از روش نمونه‌برداری اهمیتی در مخابرات آشوبی و مدولاسیون‌های MCM و ACM در کanal تک‌مسیره و چندمسیره بررسی شده است. نتایج به دست آمده کارآمدی این روش را در مقایسه با EKF هم در خطای تخمین و هم در نرخ خطای بیت نشان می‌دهد. در حالت کلی و در شرایط برابر یعنی داده‌های یکسان، ضرایب کanal و واریانس نوفه برابر، نتایج همسانسازی و دی‌مودولاسیون با روش پیشنهادی برای هر دو مدولاسیون MCM و ACM از روش EKF بهتر است. در حالت کلی در همه موارد، بهبود در BER را شاهد هستیم. در مدولاسیون ACM برای کanal تک‌مسیره و چندمسیره به‌ترتیب ۵dB و ۳dB بهبود در BER نسبت به مشاهده می‌شود. در مدولاسیون MCM نیز در هر دو کanal تک‌مسیره و چندمسیره، بهبود BER حدود ۳dB است. در تخمین بردار ضرایب بهبود نسبی داریم؛ ولی در تخمین حالت آشوبی، با وجود برتری روش پیشنهادی در مقایسه با روش EKF، به‌ازای افزایش SNR بهبود قابل توجهی حاصل نمی‌شود.

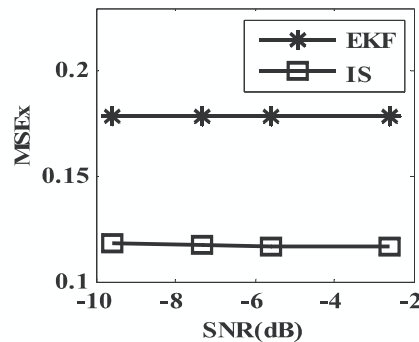
#### ۶- مراجع

Abel, A., Schwarz, W., Chaos communications—principles, schemes and system analysis, in: Proceedings of the IEEE, 2002, pp. 691–710.

Bobrovsky, A. B. Z., Adaptive blind equalization of FIR channels for chaotic communication systems using Gaussian filter, 22<sup>nd</sup> Convention of the Electrical and Electronics Engineers, 2002, pp. 222–224.



(شکل-۱۱): مقایسه BER در پوشش آشوبی ضربی و کanal چندمسیره با نوفه گوسی به‌ازای SNRهای پایین.



(شکل-۱۲): مقایسه مقدار MSEx در پوشش آشوبی ضربی و کanal چندمسیره با نوفه گوسی به‌ازای SNRهای پایین.

- Maoge, X., Yaoliang, S., Liwei, L., Adaptive blind equalization for chaotic communication systems using particle filtering, in: 8th International Conference on Signal Processing, 2006a, 3, pp. 16–20.
- Maoge, X., Yaoliang, S., Liwei, L., A novel demodulation method for chaotic parameter modulation, in: 8th International Conference on Signal Processing, 2006b, 3, pp. 1–4.
- Neal, R. M., Annealed Importance Sampling", Statistics and Computing, 2001, 11, pp.125-139.
- Petrov, V., Showalter, K., Nonlinear control of dynamical systems from time series, Phys. Rev. Lett., 1996, 76, pp. 3312-3315.
- Sharma, N., Ott, E., Combating channel distortions in communication with chaotic systems, Phys. Lett. A, 1998, 248, pp. 347-352.
- Shiyuan, W., Jiuchao, F., Particle filtering for noisy contaminated chaotic signals and its application in communication, in Control and Automation, ICCA 2007. 2007, pp.524-528
- Sobiski, D. J., Thorp, J. S., PDMA-1: Chaotic communication via the extended Kalman Filter", IEEE Trans. Circuits Syst. I, 1998, 45, pp. 194-197.
- Stavroulakis, P., Chaos Applications in Telecommunications, 1<sup>st</sup> ed., 2006, Taylor & Francis.
- Xie, N., Leung, H., Blind equalization using a predictive radial basis function neural network, IEEE Trans. Neural Networks, 2005, 16, pp. 709–720.
- Yang, T., A Survey of Chaotic Secure Communication systems, International Journal of Computational Cognition, 2004, 2, pp. 81-130.
- Zhu, Z., Leung, H., Adaptive blind equalization for chaotic communication systems using extended Kalman filter. IEEE Trans, Circuits Syst. I, 2001, 49(12), pp. 1811–1820.
- Zhu, Z., Leung, H., Combined demodulation with Adaptive blind equalization for chaotic-modulation for communication systems, IEEE Trans. Circuits Syst. I, 2002, 48(8), pp. 979–989
- Cruz, C., Nijmeijer, H., Synchronization through filtering, International J. Bifurcation Chaos, 2000, 10, pp. 763-775.
- Cuomo, K. M., Oppenheim, A. V., Barron, R. J., Channel equalization for self-synchronizing chaotic systems, in: Proc. ICASSP, 1996, 3, pp. 1605-1608.
- Cuomo, K. M., Oppenheim, A. V., Strogatz, S. H., Synchronization of Lorenz-based chaotic circuits with applications to communications, IEEE Trans. Circuits Syst. I, 1993, 40, pp. 626-633.
- Elmirghani, J. M. H., Milner, S. H., Cryan, R. A., Experimental evaluation of echo path modeling with chaotic coded speech, IEEE Trans. Signal Process, 1997, 43, pp. 2600-2604.
- Fowler, T. B., Application of stochastic control techniques to chaotic nonlinear systems, IEEE Trans. Automat. Control, 1989, 34, pp. 201-205.
- Geweke, J., Bayesian Inference in Econometric Models Using Monte Carlo Integration, Econometrica, 1989, 57, pp.1317-1339.
- Kaddoum, G., Gagnon, F. Design of a High-Data-Rate Differential Chaos-Shift Keying System. IEEE Trans. Circuits Syst., 2012, 59, pp. 448 – 452.
- Kaddoum, G., Richardson, F., Gagnon, F. Design and Analysis of a Multi-Carrier Differential Chaos Shift Keying Communication System. IEEE Trans. on Communications, 2013, 61, pp. 3281 – 3291.
- Kloek, T., Van Dijk, H. K., Bayesian Estimates of Equation System Parameters: An Application of Integration by Monte Carlo, Econometrica, 1978, 46, pp. 1-19.
- Leung, H., System identification using chaos with application to equalization of a chaotic modulation system, IEEE Trans. Circuits Syst. I, 1998, 45, pp.314–320.
- Leung, H., 2013. 1<sup>st</sup> ed., Chaotic Signal Processing, SIAM.
- Leung, H., Lam, J., Design of demodulator for the chaotic modulation communication system, IEEE Trans. Circuits Syst. I, 1997, 44, pp. 262-267.
- Leung, H., Lo, T., Chaotic radar signal processing over the sea, IEEE J. Ocean. Eng. 1993, 18, pp. 287-295.
- Leung, H., Zhu, Z., Ding, Z., An aperiodic phenomenon of the extended Kalman filter in filtering noisy chaotic signals, IEEE Trans. Signal Process., 2000, 48, (6) , pp. 1807–1810.



**ابراهیم شاهین ورنوفادرانی مدرک**



کارشناسی ارشد خود را در سال ۱۳۹۱

در رشته مهندسی مخابرات گرایش

سیستم از دانشگاه اصفهان و مدرک

کارشناسی خود را در رشته مهندسی

الکترونیک در سال ۱۳۸۸ از دانشگاه آزاد اسلامی واحد نجف

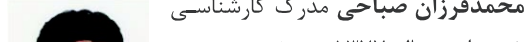
آباد دریافت کرده است. زمینه پژوهشی ایشان پردازش

سیگنال‌های آماری است.

نشانی رایانمۀ ایشان عبارت است از:

K.Shaahin@gmail.com

**محمد فرزان صباحی مدرک کارشناسی**



خود را در سال ۱۳۷۷ در رشته مهندسی

الکترونیک از دانشگاه صنعتی اصفهان و

مدرک کارشناسی ارشد و دکتری را در

گرایش مخابرات سیستم به ترتیب در

سال‌های ۱۳۷۹ و ۱۳۸۶ از همان دانشگاه اخذ کرد. ایشان

هم‌اکنون عضو هیأت علمی دانشگاه اصفهان هستند.

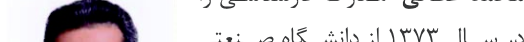
زمینه پژوهشی ایشان عبارت است از تئوری مخابرات، رادار و

پردازش سیگنال‌های آماری.

نشانی رایانمۀ ایشان عبارت است از:

sabahi@eng.ui.ac.ir

**محمد عطائی مدرک کارشناسی را**



در سال ۱۳۷۳ از دانشگاه صنعتی

اصفهان، مدرک کارشناسی ارشد را در

سال ۱۳۷۶ از دانشگاه علم و صنعت

ایران و مدرک دکترا تحصیل خود

را در سال ۱۳۸۲ از دانشگاه خواجه نصیرالدین طوسی در

رشته مهندسی برق اخذ کرد. رساله دکترا ایشان به صورت

مشترک با دانشگاه برمون آلمان از سال ۱۳۸۰ تا سال ۱۳۸۲

انجام گرفت. وی در حال حاضر دانشیار گروه مهندسی برق

دانشگاه اصفهان است. زمینه‌های کاری ایشان بر روی تحلیل

سری‌های زمانی سامانه‌های آشوبی، نظریه کنترل و

کاربردهای آن بوده است. به علاوه ایشان علاقمند به پژوهش

در زمینه کنترل آشوب و کنترل غیرخطی هستند.

نشانی رایانمۀ ایشان عبارت است از:

ataei@eng.ui.ac.ir